

[20.1001.1.20080026.1401.15.4.2.2](http://1001.1.20080026.1401.15.4.2.2)

## تنوع و تمایز ژنتیکی ماهی کفال طلایی (*Liza aurata*) در سواحل استان مازندران با استفاده از نشانگر مولکولی ریزماهواره

محمد بهروز<sup>\*</sup> و مهرنوش نوروزی<sup>۱</sup>

<sup>۱</sup> گروه شیلات و بیولوژی دریا، دانشگاه آزاد اسلامی واحد تنکابن، تنکابن، ایران

تاریخ دریافت: ۱۴۰۰/۷/۳؛ تاریخ پذیرش: ۱۴۰۰/۱۰/۱۶

### چکیده

ساختار ژنتیکی ماهی کفال طلایی *Liza aurata* در سواحل رامسر و فریدونکنار با استفاده از ۶ جایگاه ریزماهواره طراحی شده برای کفال خاکستری (*Mugil cephalus*) و کفال سویی (*M. soiuy*) بررسی گردید. در مجموع ۶۰ نمونه بالغ ماهی کفال جمع‌آوری شد. همگی پرایمرها چند شکل (پلی مورف) نشان دادند و از آنها برای تعیین تمایز ژنتیکی استفاده شد. میانگین اللی مشاهده شده (Na) در جایگاه‌ها ۶/۲ (با دامنه ۳ تا ۹ ال) بود. هر دو منطقه نمونه‌برداری دارای ال‌های اختصاصی بودند. میانگین ضریب خویشاوندی ( $F_{is}$ ) در ۶ جایگاه ریزماهواره مثبت بود. میانگین هتروزیگوستی قابل انتظار و مشاهده شده به ترتیب، ۰/۳۹۴ و ۰/۷۴۳ و ۰/۰۰۱ محاسبه شد. در بررسی تعادل هارדי-وینبرگ (H-W) تمامی جایگاه‌ها خارج از تعادل بودند ( $P \leq 0/001$ ). میزان شاخص تمایز ( $F_{st}$ ) و جریان ژنی (Nm) بر اساس فراوانی اللی به ترتیب، ۰/۰۷۸ و ۰/۹۷۸ محاسبه شد. بر اساس تست AMOVA، شاخص‌های تمایز Rst، Fst و جریان ژنی تفاوت معنی‌داری را بین جمعیت‌ها نشان داد ( $P \leq 0/001$ ). میزان فاصله ژنتیکی ۰/۶۷۹ به دست آمد که نشان‌دهنده تمایز ژنتیکی بین جمعیت‌های مورد مطالعه است. نتایج مطالعه حاضر، دلایل اولیه بر وجود جمعیت‌های تمایز ژنتیکی ماهی کفال طلایی در جنوب دریای خزر (استان مازندران) را نشان می‌دهد.

واژه‌های کلیدی: کفال طلایی، ژنتیک جمعیت، ریزماهواره، دریای خزر

سواحل مازندران تجمع می‌نماید. در تمام فصول سال از غذاهای مختلف تغذیه می‌کند و وابستگی خاصی به نوع غذا نداشته و از مواد غذایی بستر و همچنین مواد معلق در آب استفاده می‌کند. ماهی کفال طلایی یوری ترم است و دمای ۳ تا ۳۵ درجه سانتی‌گراد را تحمل می‌کند. همچنین این ماهی یوری هالین است و دامنه شوری صفر (آب شیرین) تا ۳۵ در هزار زندگی می‌کند. صید کفال ماهیان در ایران از سال ۱۹۴۲ آغاز شد طی سال‌های پس از انقلاب، به علت صید بی‌رویه، به خصوص صید انبوه کفال ماهیان در سال‌های بهره‌برداری ۱۳۶۱-۱۳۶۲ (۶۹۷۵ تن) که متوسط وزن ماهیان صید شده فقط ۲۱۰ گرم بود،

### مقدمه

ماهی کفال طلایی، *Liza aurata* متعلق به خانواده کفال ماهیان (Mugilidae) است. کفال طلایی بین سال‌های ۱۹۳۰ تا ۱۹۳۴ در رهاسازی حدود ۲ میلیون بچه ماهی ۱ تا ۲ ساله این خانواده از دریای سیاه به دریای خزر معرفی شد و در کمتر از ۱۰ سال در تمام نواحی دریای خزر گسترش یافت (رضوی صیاد، ۱۳۶۹). هم اکنون این ماهی در تمامی دریای خزر پراکنده است، اما در فصول سرد زمستان در حوزه جنوبی دریای خزر، در نواحی ساحلی ایران بویژه در

\*نوسنده مسئول: mohammad\_behrooz@ymail.com

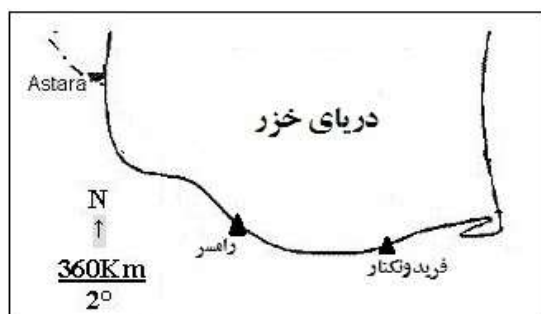
کفال مخطط *M.cephalus* Xu و همکاران (۲۰۱۰) بر روی کفال خاکستری *M.cephalus* قدسی و همکاران (۱۳۹۰) بر روی کفال طلایی اشاره نمود. مطالعه حاضر با این فرض انجام پذیرفت که ماهی کفال طلایی دارای جمعیت‌های متفاوت در استان مازندران در سواحل رامسر و فریدونکنار می‌باشد و فراوانی ژنتیکی و لیلی هر یک از جمعیت‌ها با یکدیگر متفاوت است. بنابراین نمونه‌برداری از این دو منطقه انجام شد تا وضعیت تنوع ژنتیکی و همچنین وجود جمعیت‌های احتمالی و تمایز ژنتیکی بین جمعیت‌ها با استفاده از نشانگرهای ریزماهواره شناسایی شود.

### مواد و روش‌ها

نمونه‌گیری از ۶۰ نمونه ماهی بالغ کفال طلایی از دو منطقه رامسر "۵۷°۵۰' شرقی و "۱۰۸°۳۶' شمالی و "۲۲°۸'/۸۸ شرقی و فریدونکنار شمالی و "۳۶°۴۱'۲۰/۰۴ شمالی از قسمت بالهی سینه‌ای صورت گرفت (شکل ۱).

لطمہ شدیدی به ذخایر آنها وارد نمود (رضوی صیاد، ۱۳۶۹). بررسی ژنتیک جمعیت یا اکولوژی مولکولی ماهیان با ارزش اقتصادی، برای حفاظت از جمعیت آنها و حفظ صید پایدار بسیار ضروری است. تنوع ژنتیکی، قابلیت بقای یک گونه و یا جمعیت را از طریق ایجاد توانایی سازگاری با تغییرات محیطی فراهم می‌کند. بنابراین، تنوع ژنتیکی برای بقای طولانی مدت یک گونه ضروری است (Bataillon و همکاران، ۱۹۹۶).

یکی از بهترین روش‌ها برای بررسی تنوع ژنتیکی استفاده از نشانگرهای ریزماهواره است که به علت مزایای زیاد از جمله فراوانی و گستردگی بالا در ژنوم، همبارز بودن، پلی‌مورفیسم بالا و رتبه‌دهی آسان و دقیق کاربرد گسترده‌ای دارند (Chen و همکاران، ۲۰۰۸). در سال‌های اخیر محققین مختلفی بر روی ساختار ژنتیکی خانواده کفال ماهیان با استفاده از نشانگرهای ریزماهواره مطالعه کرده‌اند که از جمله به Xu و همکاران (۲۰۰۹) بر روی کفال سویی Miggiano و همکاران (۲۰۰۵) بر روی



شکل ۱- نمایی از مناطق نمونه‌برداری از ماهی کفال طلایی در رامسر و فریدونکنار

استخراج در فریزر -۸۰ درجه سانتی‌گراد قرار گرفت. استخراج DNA با استفاده از کیت (شرکت روج آلمان، کد ۱۱۷۹۶۸۲۸۰۰۱) انجام گردید. به منظور بررسی کمیت و کیفیت DNA استخراج شده از روش‌های اسپکتروفوتومتری و الکتروفوروز ژل آگاراز

قسمت‌های جدا شده هر یک از نمونه‌ها جداگانه درون میکروتیوب ۱/۵ میلی‌لیتری قرار گرفت و با الكل ۹۶٪ ذخیره گردید. سپس جهت انجام آزمایشات مولکولی به آزمایشگاه تحقیقات ژنتیک انتقال یافت. برای نگهداری بهتر، نمونه‌ها تا شروع مرحله‌ی

شاخص تمایز  $R_{st}$  و  $F_{st}$  براساس تست AMOVA<sup>۳</sup> در سطح اطمینان ۱ درصد و با نرمافزار GeneAlex (Peakall and Smouse, 2006) محاسبه گردید (Peakall and Smouse, 2006). همچنین نمودار سنجش ژنتیکی<sup>۴</sup> جمعیت‌ها نیز بوسیله نرم‌افزار فوق رسم گردید.

### نتایج

در این مطالعه، تمام ۶ جایگاه مورد بررسی در واکنش زنجیره‌ای پلیمراز تکثیر شدن و چند شکلی نشان دادند. در هنگام شمارش الگوی باندی در تمامی جایگاه‌ها یکی و در برخی موارد دوباند دیده شد. اندازه‌الی بدست آمده از ۱۱۶ تا ۳۵۰ جفت باز بود (جدول ۱). در این بررسی دامنه‌الی بین جایگاه‌ها از ۵ تا ۱۳ الی بدست آمد. تعداد کل الی‌های شناسایی شده ۵۳ الی بود که از میان آن در منطقه فریدون‌کنار ۳۲ الی و در منطقه رامسر ۲۸ الی با فراوانی بیش از ۰/۰۵ دیده شد. حداکثر فراوانی‌الی (۰/۵۳۳) در نمونه‌های فریدون‌کنار در جایگاه Muso-10 در الی شماره ۵ و در اندازه‌الی ۳۴۸ جفت باز و حداکثر فراوانی‌الی (۰/۰۵۷)، در نمونه‌های رامسر در جایگاه Muso-22 در الی شماره ۶ و در اندازه‌الی ۲۵۶ جفت باز بدست آمد. مجموعاً ۵ الی اختصاصی در دو منطقه یافت شد که ۲ الی در نمونه‌های فریدون‌کنار در جایگاه‌های Muso-16 (در اندازه‌الی ۱۸۰ جفت باز) و ۱۹ (در اندازه‌الی ۳۰۰ جفت باز) و ۳ الی در نمونه‌های رامسر در جایگاه Muso-16 (در اندازه‌های الی ۲۶۲، ۲۷۶ و ۲۸۸ جفت باز) دیده شد. میانگین تعداد کل الی واقعی و مؤثر در منطقه فریدون‌کنار به ترتیب، ۶/۳۳۳ و ۴/۵۰۱ و در منطقه رامسر به ترتیب ۶/۱۶۷ و ۴/۱۷۷ بدست آمد (جدول ۲).

۱٪ استفاده شد. برای بررسی تنوع ژنتیکی ماهی کفال طلایی از ۶ جفت پرایمر میکرو ستلاتیت طراحی شده برای کفال خاکستری شامل پرایمرهای Muce55 و Muce37 (Xu و همکاران، ۲۰۱۰) و کفال سویی Muso19، Muso16، Muso10 و Muso22 (Xu و همکاران، ۲۰۰۹) استفاده گردید (جدول ۱). واکنش زنجیره‌ای پلیمراز در حجم ۲۵ میکرولیتر شامل : dNTPs ۰/۲ میلی‌مولار؛ پرایمر یک میکرولیتر؛ DNA ۱۰۰ نانوگرم؛ تگ DNA پلی مراز هات استارت ۰/۳ واحد، PCR بافر x ۱؛ کلرید منزیم ۱/۵ میلی‌مولار، آب مقطر دیونیزه برای رساندن به حجم مورد نظر در pH ۸/۷: انجام گرفت. شرایط چرخه دمایی و مشخصات داده شده به دستگاه ترموسایکلر برای واکنش زنجیره‌ای پلی مراز به ترتیب مرحله جداسازی ۹۴-۹۵ درجه سانتی‌گراد به مدت ۳۰ ثانیه، مرحله اتصال پرایمرها به هدف از ۴۷ تا ۵۶ درجه سانتی‌گراد به مدت ۲۵ تا ۴۰ ثانیه، مرحله بسط پرایمر ۷۲ درجه سانتی‌گراد، ۱۰ دقیقه و ۳۵ چرخه بهینه‌سازی گردید (جدول ۱). محصول PCR بر روی ژل پلی اکریل آمید ۱۰ درصد (دیونیزه) الکتروفورز شد و رنگ آمیزی ژل با نیترات نقره انجام گرفت (Bassam و همکاران، ۱۹۹۱). سپس تصویر ژل‌ها با استفاده از نرم‌افزار Uvitec مورد بررسی قرار گرفت. پس از رتبه‌دهی به الی‌ها محاسبات آماری شامل فراوانی‌الی<sup>۱</sup>، تعداد الی (Na) و تعداد الی‌های مؤثر (Ne)، هتروزیگوستی مورد انتظار (He) و مشاهده شده (Ho)، ضریب خویشاوندی درون جمعیت ( $F_{is}$ ) و ضریب خویشاوندی کل ( $F_{it}$ )، تعادل هارדי-وینبرگ براساس<sup>۲</sup>، تست تمایز بر اساس فراوانی الی، فاصله ژنتیکی<sup>۳</sup> براساس Nei (۱۹۷۲)، مقادیر

<sup>۳</sup>- Analysis of MOlecular Variance  
<sup>۴</sup>- Assignment test

۱- Allel frequency  
۲- Genetic distance

جدول ۱- نام جایگاه، دمای الصاق (درجه سانتی گراد)، تعداد چرخه (ثانیه)، تکرار توالی، اندازه الی (جفت باز)، شماره بانک ژن پرایمرها

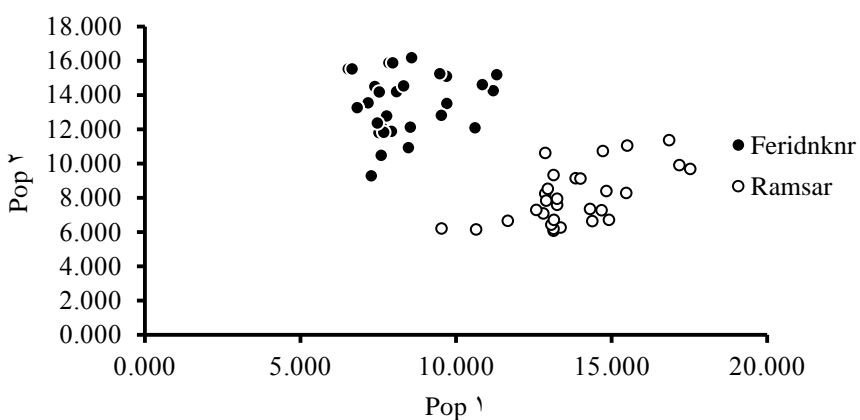
منبع	شماره بانک ژن	اندازه الی	تکرار توالی	چرخه/دما	جایگاه
		۳۵۰-۳۱۲	(GT) <sub>23</sub>	۵۴/۳۰	Muso10
Xu و همکاران،	EU570291	۳۵۰-۲۵۸	(AC) <sub>18</sub>	۵۶/۳۰	Muso16
	EU570294	۱۶۶-۲۰۲	(AC) <sub>9</sub>	۵۶/۳۰	Muso19
	EU570297	۱۸۲-۱۹۲	(GT) <sub>17</sub>	۵۱/۴۰	Muso22
Xu و همکاران،	HM060973	۱۹۲-۲۲۲	(AC) <sub>7</sub>	۵۱/۲۵	Muce-37
	HM060977	۱۱۶-۱۵۲	(TC) <sub>8</sub> (GCTC) <sub>5</sub>	۴۷/۴۰	Muce-55

میزان  $F_{st}$  بر اساس فراوانی الی،  $0/078$  بدست آمد که نشان‌دهنده تمایز ژنتیکی متوسط می‌باشد و  $Lugan$  و  $Balloux$  (۲۰۰۲). جریان ژنی  $2/9$  محاسبه شد. اما میزان  $R_{st}$  و  $F_{st}$  بر اساس تست AMOVA معنی‌دار بود ( $P \leq 0/01$ ) و نشان‌دهنده جدا شدن جمعیت‌ها می‌باشد. فاصله ژنتیکی و شباهت ژنتیکی بر اساس Nei (۱۹۷۲) به ترتیب،  $0/679$  و  $0/507$  بدست آمد. نتایج آنالیز واریانس مولکولی بر اساس  $Rst$  نیز نشان داد که  $50$  درصد تنوع مربوط به درون جمعیت‌ها،  $22$  درصد به بین جمیت‌ها،  $28$  درصد بین افراد مربوط می‌شود. نمودار سنجش ژنتیکی جمعیت‌ها در شکل ۲ نشان داده شده است و نمایشی از درجه تفکیک ژنتیکی بین جمعیت‌ها را می‌سازد و روش مناسبی برای سنجش اختلاف جمعیت‌ها به کمک نمودار و بر اساس تست‌های سنجش می‌باشد و اعداد نمایش داده شده روی محور بر اساس درجه تمایز است (Paetkau و همکاران، ۲۰۰۴).

میانگین کل هتروزیگوستی مشاهده شده و مورد انتظار به ترتیب،  $0/349$  و  $0/743$  بود. در مقایسه مناطق مورد مطالعه، میانگین هتروزیگوستی مشاهده شده و مورد انتظار در منطقه فریدون‌کنار به ترتیب،  $0/406$  و  $0/754$  و در منطقه رامسر به ترتیب،  $0/383$  و  $0/733$  بود. هیچ اختلاف معنی‌داری در وضعیت الی و هتروزیگوستی بین دو منطقه مشاهده نشد. در بررسی تعادل هارדי-وینبرگ (H-W) همه جایگاه‌ها خارج از تعادل بودند ( $P \leq 0/001$ ). میانگین ضرب خویشاوندی درون جمعیت ( $Fis$ )،  $0/483 \pm 0/195$  و ضرب خویشاوندی کل ( $F_{it}$ )،  $0/518 \pm 0/187$  به دست آمد.  $Fis$  در بیشتر جایگاه‌های ریزماهواره‌ی مثبت بود و دامنه آن از  $-0/194$  تا  $0/879$  در جایگاه Muso-37 در جایگاه Muso-10 محاسبه گردید (جدول ۲). مقادیر مثبت  $F_{is}$  نشان‌دهنده کاهش هتروزیگوستی است. جایگاه Muso-37 با کمترین میزان  $F_{is}$  بالاترین میزان هتروزیگوستی را در تمامی جایگاه‌ها نشان داد.

جدول ۲- تعداد الی (Na)، ال های مؤثر (Ne)، هتروزیگوستی مورد انتظار (Ho)، هتروزیگوستی مشاهده شده (He) و ضریب خویشاوندی (Fit و Fis) در شش جایگاه ریزماهواره در ماهی کفال طلایی

نام جایگاه	Fit	Fis	رامسر	فریدون کنار
Muso-10	۰/۸۹۱	۰/۸۷۹		
Na(Ne)		۶(۴/۴۸۹)		۴(۲/۴۷۳)
Ho(He)		۰/۱۶۷(۰/۷۷۷)		۰(۰/۵۹۶)
Muso-16	۰/۶۳۴	۰/۵۶۵		
Na(Ne)		۳(۲/۹۳۶)		۷(۴/۹۴۵)
Ho(He)		۰/۱۶۷(۰/۶۵۹)		۰/۴۶۷ (۰/۷۹۸)
Muso-19	۰/۶۶۱	۰/۶۴۰		
Na(Ne)		۹(۵/۱۶۷)		۹(۷/۲۵۸)
Ho(He)		۰/۲۶۷(۰/۸۰۷)		۰/۳۳۳(۰/۸۶۲)
Muso-22	۱	۱		
Na(Ne)		۵(۲/۶۷۹)		۵(۴/۲۰۶)
Ho(He)		۰(۰/۶۲۷)		۰(۰/۷۶۲)
Muce-37	-۰/۱۴۵	-۰/۱۹۴		
Na(Ne)		۹(۶/۶۹۱)		۵(۴/۳۲۷)
Ho(He)		۱(۰/۸۵۱)		۰/۹۳۳(۰/۷۶۹)
Muce-55	۰/۰۶۷	۰/۰۰۹		
Na(Ne)		۵(۳/۰۹۳)		۵(۳/۷۹۷)
Ho(He)		۰/۷۰۰(۰/۶۷۷)		۰/۷۰۰ (۰/۷۳۷)
تعداد کل الی < ۰/۰۵ (ال انتخاصی)		(۳) ۲۸	(۲) ۳۲	
Na(Ne) میانگین	۰/۵۱۸	۰/۴۸۳	۶/۱۶۷ (۴/۱۷۷)	۶/۳۳۳ (۴/۵۰۱)
Ho(He) میانگین			۰/۳۸۳(۰/۷۳۳)	۰/۴۰۶ (۰/۷۵۴)



شکل ۲- نمودار تعیین سنجش دو جمعیت رامسر و فریدون کنار در شش جایگاه ریزماهواره در ماهی کفال طلایی (بر حسب درجه تمایز)

و مدیریت جوامع زیستی مطرح است. بررسی وضعیت الی و هتروزیگوسمیتی از شاخص‌های مهم تنوع ژنتیکی محسوب می‌شوند. در بررسی حاضر دامنه الی ماهی کفال طلایی ۵ تا ۱۳ الی در هر جایگاه بدست آمد. این در حالی است که قدسی و همکاران (۱۳۹۰) در بررسی تنوع ژنتیکی کفال طلایی در سواحل استان گلستان با استفاده از پنج جایگاه میکروستلایت میانگین دامنه الی را بین ۲۰ تا ۸ الی به دست آورده‌اند. در مقایسه دامنه الی با سایر کفال ماهیان، Xu و همکاران (۲۰۱۰) در بررسی ساختار ژنتیکی جمعیت کفال خاکستری، میانگین دامنه الی ۲-۱۱ به دست آورده‌اند. Xu و همکاران (۲۰۰۹) در کفال سویی میانگین دامنه الی ۳-۹ به دست آورده‌اند. Miggiano و همکاران (۲۰۰۵) در کفال مخطط میانگین دامنه الی را برای نمونه‌های جزیره ساردینیا ۱۴ تا ۳۸ الی و برای نمونه‌های استرالیا ۱۱ تا ۲۵ الی به دست آورده‌اند. نتایج بررسی حاصل بر روی ماهیان کفال طلایی نشان می‌دهد که میانگین الی به دست آمده در این بررسی (۹/۵) کمتر از دامنه اعلام شده ( $19/9 \pm 6/6$ ) برای ماهیان آب شور است (Dewoody و Avis, ۲۰۰۰). همچنین در این مطالعه تعدادی الی با فراوانی پایین دیده شد. ممکن است علت این امر به صید بی‌رویه این گونه در سالیان گذشته بازگردد. طی سال‌های پس از انقلاب، به علت صید بی‌رویه، کفال ماهیان که متوسط وزن ماهیان صید شده فقط ۲۱۰ گرم بود، لطمه شدیدی به ذخایر آنها وارد نمود (رضوی صیاد، ۱۳۶۹). به طورکلی، تعداد کم الی نشانه‌ای از تنگنای ژنتیکی است که در شرایط جمعیت وحشی، ممکن است به علت جدا شدن جمعیت و یا کاهش شدید اندازه مؤثر باشد (Ha و همکاران، ۲۰۰۶). با توجه به اینکه ماهی کفال طلایی بومی دریای خزر نمی‌باشد این احتمال وجود دارد که جمعیت موسس کوچک در ابتدای ورود از

بر اساس این نمودار جمعیت‌ها هیچ همپوشانی بر یکدیگر ندارند و از هم جدا هستند.

## بحث

ماهی کفال طلایی از جمله ماهیان با ارزشی هستند که توسط دانشمندان روسی به دریای خزر معرفی شدند. این ماهی توانست با شرایط دریای خزر سازگار شود. فهم اینکه گونه‌های غیربومی که به زیستگاه دیگری معرفی شده اند آیا با موفقیت در زیستگاه جدید تشکیل جمعیت داده‌اند یک چالش بزرگ برای پیش‌بینی وضعیت آن گونه در اکوسیستم محسوب می‌شود. ارزیابی ژنتیکی جمعیت بنا شده (تازه تاسیس) چشم‌انداز مناسبی برای درک این مسئله است و هنگامی که تنوع ژنتیکی ظاهر می‌شود به عنوان یک فاکتور کلیدی برای درک وضعیت موجود آن گونه در زیستگاه جدید است (Lee و Roman, ۲۰۰۷; Darling, ۲۰۰۷). بررسی ساختار ژنتیکی جمعیت‌ها می‌تواند راهکاری برای برای مدیریت ژنتیکی جمعیت‌های وحشی ارائه دهد. نشانگرهای ژنتیکی مختلفی برای بررسی ساختار جمعیت وجود دارد اما در بین تمامی آنها ریزماهواره‌ها را می‌توان در گونه‌هایی با خویشاوندی نزدیک که از جد مشترکی باشند در اکثر موارد با موفقیت استفاده کرد (Cui و همکاران, ۲۰۰۵). بنابراین در این بررسی به منظور جداسازی و تکثیر ژن مورد نظر ماهی کفال طلایی از ۶ جفت پرایمر ریزماهواره طراحی شده برای کفال خاکستری (Xu و همکاران, ۲۰۱۰) و کفال سویی (Xu و همکاران, ۲۰۰۹) استفاده شد و از آنجایی که ریزماهواره‌ها می‌توانند مناطق مشابهی را در سایر گونه‌ها تکثیر نمایند، از این پرایمرها استفاده گردید.

تنوع ژنتیکی به عنوان یکی از شاخص‌های مهم وضعیت اکولوژیک اکوسیستم‌های آبی است که به عنوان ابزار منحصر به فرد و توانمندی برای ارزیابی

جایگاه‌ها هتروزیگوستی مشاهده شده نسبت به هتروزیگوستی قابل انتظار پایین تر بود. با این حال، کاهش هتروزیگوستی مشاهده شده نسبت به هتروزیگوستی قابل انتظار، کاهش تنوع الی و همچنین وجود الیایی با فراوانی پایین، را می‌توان تحت تاثیر عواملی همچون صید بی‌رویه، عوامل زیستمحیطی همچون آلاینده‌های زیستی دانست که منجر به کاهش تکثیر طبیعی این ماهی می‌شود. کفال ماهیان گرمادوست هستند و نسبت به کاهش درجه حرارت آب حساسیت فوق العاده‌ای دارند و از محل کاهش درجه حرارت آب به سوی آب‌های گرمتر دریا حرکت می‌کنند. بنابراین، به دلیل سرد شدن هوا از سواحل شمالی دریای خزر به سمت سواحل ایران مهاجرت می‌کنند و در اواخر پاییز به دلیل افت درجه حرارت به زیر ۱۰ درجه سانتی‌گراد و همچنین در اثر کمبود مواد غذایی، دچار استرس شده و به سواحل نزدیک می‌شوند که به دلیل بالا بودن مواد آلاینده زیستی در سواحل دچار تلفات می‌گردند. بنابراین کوچک شدن جمعیت در این ماهی می‌تواند منجر به کاهش تنوع ژنتیکی شود. کاهش تنوع ژنتیکی، آمادگی برای بیماری و سایر فاکتورهای انتخابی را افزایش داده و در نتیجه موجب کاهش در اندازه جمعیت می‌شود (Shen و Gong, ۲۰۰۴). از آنجایی که در این بررسی میانگین ضربی خویشاوندی مثبت بود، این احتمال وجود دارد که از افراد خویشاوند در یک محل، نمونه‌برداری شده باشد و یا ناشی از تنوع ژنتیکی پایین در بچه کفال ماهیان اولیه‌ای باشد که از دریای سیاه به دریای خزر وارد شده‌اند. ممکن است مولدین اولیه از یک یا دو منطقه نزدیک به هم در دریای سیاه انتخاب شده‌اند و یا تنوع ژنتیکی این گونه در دریای سیاه پایین باشد، که متأسفانه اطلاع کافی از محل برداشت کفال در دریای سیاه موجود نیست (قدسی، ۱۳۹۰).

دریای سیاه به دریای خزر عامل کاهش تنوع الی باشد. نتایج این بررسی تایید کننده این امر است زیرا وجود الی‌های زیاد با فراوانی پایین نشان‌دهنده تنگناهای ژنتیکی یا اثرات آمیزش خویشاوندی است (Alarcon و همکاران، ۲۰۰۴). میانگین ضربی خویشاوندی Fit و Fis مثبت نیز در دو منطقه تایید کننده این امر است. میکروستلاتیت‌ها شاخص حساسی در اندازه‌گیری هموزیگوستی در جفت‌گیری‌های هم خون هستند. بنابراین برای تشخیص تمایز کم بین جمعیت‌ها مناسب هستند (Alarcon و همکاران، ۲۰۰۴). در این بررسی، دامنه کل هتروزیگوستی مشاهده شده صفر تا یک و هتروزیگوستی مورد انتظار ۰/۵۹۶ تا ۰/۸۶۲ بود و در مناطق نمونه‌برداری اختلاف معنی‌داری بین دو منطقه دیده نشد. قدسی و همکاران در سال (۱۳۹۰) در بررسی تنوع ژنتیکی ماهی کفال طلایی دامنه هتروزیگوستی را بین ۰/۹۰ تا ۰/۸۶ اعلام کردند. در مقایسه با مطالعات مشابه بر روی سایر کفال ماهیان، Xu و همکاران (۲۰۱۰) در ماهی کفال خاکستری، دامنه هتروزیگوستی مشاهده شده را بین ۰/۲۵۹ تا ۰/۸۹۶ و دامنه هتروزیگوستی قابل انتظار ۰/۳۰۴ تا ۰/۸۴۵ بدست آوردند. همکاران (۲۰۰۹) در هتروزیگوستی مشاهده شده را بین ۰/۹۱۶ تا ۰/۲۶۵۱ و دامنه هتروزیگوستی قابل انتظار ۰/۸۸۱۲ تا ۰/۸۴۵ و همکاران (۲۰۰۵) در بدست آوردند. Miggiano و همکاران (۲۰۰۵) در ماهی کفال مخطط، دامنه هتروزیگوستی مشاهده شده را بین یک تا ۰/۳۸۹ و دامنه هتروزیگوستی قابل انتظار ۰/۸۲۶ تا ۰/۹۵۲ بدست آوردند. نتایج بررسی حاضر بر روی ماهی کفال طلایی نشان می‌دهد که میانگین هتروزیگوستی مشاهده شده ( $0/394 \pm 0/1$ ) کمتر از مقدار اعلام شده برای ماهیان آب شور (Dewoody و Avis, ۲۰۰۰) است (۰/۷۷ ± ۰/۲۲). در این بررسی، در هر دو منطقه نمونه‌برداری، در برخی

ساختر جمعیتی متوسط این گونه است. Shaklee و همکاران (۱۹۸۲) Thorpe و Sol-Cave (۱۹۹۴) میزان فاصله ژنتیکی (Nei، ۱۹۷۲) برای جدایی جمعیت‌ها را به طور میانگین  $0.03 \pm 0.01$  ذکر کرده‌اند که با فاصله ژنتیکی مشاهده شده در این بررسی مطابقت دارد و نشان‌دهنده تمایز ژنتیکی بین جمعیت‌های مشاهده شده است.

این بررسی دلایل و نتایج اولیه‌ای را برای وجود جمعیت‌های تمایز ماهی کفال طلایی در دو منطقه فریدون‌کنار و رامسر را نشان می‌دهد. وجود تنوع ژنتیکی پایین در مناطق نمونه‌برداری نشان از تنگی‌زاده ژنتیکی این گونه در دریای خزر دارد. وجود جمعیت موسس کوچک در ابتدای ورود این گونه به دریای خزر، صید بی‌رویه و آلودگی زیست‌محیطی در این دریا موجب کاهش اندازه جمعیت و در نتیجه کاهش تنوع الی در این ماهی گردیده است. وجود آمیزش‌های خویشاوندی نیز موجب کاهش تنوع ژنتیکی در هر یک از مناطق نمونه‌برداری گردیده است. وجود الله‌های اختصاصی و تفاوت در فراوانی الل غالب در هر یک از مناطق نمونه‌برداری و شاخص تمایز معنی‌دار نشان‌دهنده وجود جمعیت‌های متفاوت در جنوب دریای خزر در آبهای سواحل مازندران است.

### تشکر و قدردانی

این پژوهش در آزمایشگاه تحقیقات ژنتیک مولکولی دانشگاه آزاد اسلامی واحد تکابن انجام پذیرفت. از تمامی همکاران گرامی در آزمایشگاه تحقیقات ژنتیک مولکولی بویژه سرکار خانم مهندس امیرجتی تشکر و قدردانی می‌گردد.

در بررسی تعادل هاردی-وینبرگ، همه مناطق در تمامی جایگاه‌ها خارج از تعادل بودند ( $P < 0.001$ ). انحراف از تعادل هاردی-وینبرگ در جمعیت ماهیان زیاد است (Lucentini و همکاران، ۲۰۰۶). چنین نتیجه‌ای در مورد کفال ماهیان توسط سایر محققین گزارش شده است و علت آن را در ماهی کفال طلایی ناشی از وجود الل‌های نول دانستند (Xu و همکاران، ۲۰۰۹؛ Xu و همکاران، ۲۰۱۰). قدسی و همکاران (۱۳۹۰) علت آن را اشتباه در هنگام خواندن الل و انحراف تصادفی بیان نمودند. در بررسی حاضر به نظر می‌رسد علت انحراف از تعادل، مخلوط شدن نمونه‌ها و ترکیب جمعیت‌ها، خطای نمونه‌برداری با توجه به اندازه کوچک جمعیت‌ها و تعداد کم نمونه‌ها باشد. در بررسی شاخص تمایز  $F_{st}$  پیشنهاد شده است که مقدار بین صفر تا  $0.05$  نشان‌دهنده تمایز ژنتیکی پایین، مقدار بین  $0.05$  تا  $0.15$  تمایز متوسط و مقدار بین  $0.15$  تا  $0.25$  تمایز بالاست و مقدار بالای  $0.25$  تمایز ژنتیکی خیلی بالاست (Wright، ۱۹۷۸). میزان  $F_{st}$  بر اساس فراوانی الی  $0.078$  بدست آمد که نشان‌دهنده تمایز ژنتیکی متوسط می‌باشد و میزان جریان ژنی  $2/9$  محاسبه گردید. تست تمایز  $F_{st}$  و بر اساس تست AMOVA بین نمونه‌ها محاسبه شد و معنی‌دار بود ( $P < 0.01$ ). بنابراین جمعیت‌ها از یکدیگر جدا هستند. با وجود تمایز ژنتیکی بین دو جمعیت مورد مطالعه، علت تمایز ژنتیکی متوسط وجود جریان ژنی بین دو منطقه است. وجود استعداد پراکنش بالا که احتمالاً ناشی از نبود موانع فیزیکی یا اکولوژیکی برای این ماهیان در سواحل جنوبی دریای خزر، ارتباط زیاد در هنگام مهاجرت در زیر جمعیت‌ها ایجاد می‌شود که علت وجود

### منابع

۱. رضوی صیاد، ب.. ۱۳۶۹. مدیریت ذخایر ماهیان استخوانی اقتصادی دریایی مازندران. اولین کنفرانس ملی بهره‌برداری مناسب از ذخایر آبزیان، سازمان شیلات استان مازندران، بالسر.
۲. قدسی، ز..، شعبانی، ع.. و شعبانپور، ب.. ۱۳۹۰. بررسی تنوع ژنتیکی ماهی کفال طلای (Liza aurata (Risso, 1810) در سواحل استان گلستان با استفاده از نشانگرهای ریزماهواره، تاکسونومی و بیوسیستماتیک، سال سوم، شماره ششم، ۶، ۴۶-۳۵.
3. Alarcon, J.A., Magoulas, A., Georgakopoulos, T., Zouros, E., Alvarez, M.C., 2004. Genetic comparison of wild and cultivated European populations of the Gilthead Sea bream (*Sparus aurata*). Aquaculture 230, 65–80.
4. Bassam, B.J., Caetano-Anolles, G., Gressoff, G.M., 1991. Fast and sensitive silver staining of DNA in polyacrylamide gels. Annual Biochemistry 84, 680-683.
5. Bataillon, T.M., David, J.L., Schoen, D.J., 1996. Neutral genetic markers and conservation: simulated germplasm collections. Genetics 144, 409-417.
6. Chen, L., Li, Q., Yang, J., 2008. Microsatellite genetic variation in wild and hatchery populations of the sea cucumber (*Apostichopus japonicas selenka*) from northern China. Aquaculture Research 39, 1541-1549.
7. Cui, J.Z., Shen, X.Y., Yang, G.P., Gong, Q.L., Gu, Q.Q., 2005. Characterization of microsatellite DNAs in *Takifugu rubripes* genome and their utilization in the genetic diversity analysis of *T. rubripes* and *T. pseudomimus*. Aquaculture 250, 129–137.
8. Dewoody, J.A., Avise, J.C., 2000. Microsatellite variation in Marine, freshwater and anadormouse fishes compared with other animals. Journal of Fish Biology 56, 461-473.
9. Ha, H.P., Nguyen, T.T., Poompuang, S., Na-Nakorn, U., 2009. Microsatellites revealed no genetic differentiation between hatchery and contemporary wild populations of striped catfish, *Pangasianodon hypophthalmus* (Sauvage 1878) in Vietnam. Aquaculture 291, 154-160.
10. Lee, C.E. 2002. Evolutionary genetics of invasive species. Trends Ecology and Evolution 17, 386–391.
11. Lucentini, L., Palomba, A., Lancioni, H., Gigliarelli, L., Sgaravizzi, G., Natali, M., Panara, F., 2009. Temporal changes and effective population size of an Italian isolated and supportive-breeding managed northern pike (*Esox lucius*) population. Fisheries Research 96, 139-147.
12. Miggiano, E., Lyons, R.E., Li, Y., Dierens, L.M., Crosetti, D., Sola, L., 2005. Isolation and characterization of microsatellite loci in the striped mullet, *Mugil cephalus*. Molecular Ecology 5, 323-326.
13. Nei, M., 1978. Estimation of average heterozygosity and genetic distance from small number of individuals. Genetics 89, 583-590.
14. Peakall, R., Smouse, P.E., 2006. GENALEX 6: genetic analysis in Excel. Population genetic software for teaching and research. Molecular Ecology Notes 6, 288-295.
15. Paetkau, D., Calvert, W., Stirling, I., Strobeck, C., 1995. Microsatellite analysis of population structure in Canadian polar bears. Molecular Ecology 4, 347-354.
16. Roman, J., Darling, J.A., 2007. Paradox lost: genetic diversity and the success of aquatic invasions. Trends in Ecology & Evolution 22, 454–464.
17. Shaklee, J.B., Tamaru, C.S., Waples, R.S., 1982. Speciation and evolution of marine fishes studied by electrophoretic analysis of proteins. Pacific Science 36, 141-157.
18. Shen, X.Y., Gong, Q.L., 2004. Population genetic structure analysis of the imported turbot seedlings *Scophthalmus maximus*. Using RAPD and microsatellite technique. Oceanic Limnology Science 35, 332–341.
19. Thorpe, J.P., Sole-Cava A.M., 1994. The use of allozyme electrophoresis in invertebrate systematics. Zoologica Scripta 23, 3-18.
20. Xu, T.J., Sun, D.Q., Shi, G., Wang, R.X., 2010. Development and characterization of polymorphic microsatellite markers in the gray mullet (*Mugil cephalus*), Genetics and Molecular Research 9, 1791-1795.
21. Xu, G., Shao, Ch., Liao, X., Tian, Y., Chen, S., 2009. Isolation and characterization of polymorphic microsatellite loci from So-Iuy mullet (*Mugil soiuy* Basilewsky, 1855). Conservation Genetics 10, 653-655.



## **Genetic variability and differentiation of golden mullet (*Liza aurata*) in seashore of Mazandaran province using microsatellite molecular**

**\*M. Behrouz<sup>1</sup> and M. Norouzi<sup>1</sup>**

<sup>1</sup> Department of Marine Biology and Fisheries Sciences, Tonekabon Branch, Islamic Azad University, Tonekabon, Iran

---

### **Abstract**

Genetic structure of golden mullet, *Liza aurata*, was investigated in the Ramsar and Fereidunkenan shores using 6 microsatellite markers designed for gray mullet (*Mugil cephalus*) and hand mullet (*Mugil soiuy*). Totally, 60 samples of adult golden mullet were collected from these regions. All primer sets as polymorphic loci were used to analyze the genetic variation. Analyses revealed that average of alleles (Na) per locus was 6.2 (range 3 to 9 alleles). All sampled regions contained private alleles. The average estimates of inbreeding coefficient ( $F_{is}$ ) values of 6 microsatellites were positive. The average observed and expected heterozygosity was 0.394 and 0.743 respectively. Deviations from Hardy-Weinberg equilibrium were in all cases ( $P < 0.001$ ). F-statistics ( $F_{st}$ ) and gene flow (Nm) estimates in allele frequencies were 0.078 and 2.9, respectively.  $R_{st}$  and  $F_{st}$  estimates in AMOVA indicated significant genetic differentiation among regions ( $P \leq 0.01$ ). Genetic distance was 0.679, indicating that the genetic difference among the studied populations is pronounced. The data generated in this study provides the genetic variation and differentiation in populations of golden mullet in the southern Caspian Sea (Mazandaran province).

**Keywords:** Golden mullet, *Liza aurata*, Population genetic, Microsatellite, Caspian Sea.

---

\*Corresponding author; mohammad\_behrooz@ymail.com